



دانشگاه صنعتی اصفهان

دانشکده مهندسی مواد

ارزیابی رفتار سایشی ترکیب بین فلزی MoSi_2 پاشش حرارتی فعال سازی شده توسط آسیاب کاری مکانیکی

پایان نامه کارشناسی ارشد مهندسی مواد

عباس طوقیان چهارسوقی

استاد راهنما

دکتر مهدی صالحی

چکیده

در این پژوهش پودرهای خالص مولیبدن و سیلیسیم در دستگاه آسیاب مکانیکی شافتی در زمان‌های گوناگون مورد فعال‌سازی قرار گرفت. در این رابطه با استفاده از الگوهای پراش پرتو ایکس (XRD) و عملیات حرارتی در دماهای گوناگون و محاسبه متوسط اندازه ذرات پودر، زمان بهینه آسیابکاری بدست آمد. این زمان برای سیستم فوق و شرایط ویژه آن برابر ۱۵ ساعت می‌باشد. پودر بدست آمده از مرحله آسیابکاری به دلیل داشتن ابعاد کوچک، قابل استفاده در پاشش حرارتی نمی‌باشد. به همین دلیل روش شیمیابی کلوخه سازی با استفاده از کربوکسی متیل سلوزل (CMC) به کار گرفته شد. در این قسمت، غلظت‌های متفاوتی از (CMC) در آب بدون یون وارد و توانایی آن در تولید کلوخه‌های مناسب بررسی شد. کلوئید حاوی یک درصد وزنی کربوکسی متیل سلوزل به عنوان حالت بهینه انتخاب گردید. پس از تولید کلوخه‌های مورد نظر، با استفاده از خرد کردن و دانه بندی آنها پودر مناسب برای پاشش بدست آمد. در مرحله بعد، پودرهای تولیدی به روش پاشش پلاسمایی اتمسفری (APS) بر روی زیر لایه مسی نشانده شد. نتایج حاکی از آن است که در حین پاشش، ترکیبات بین فلزی MoSi_2 و Mo_5Si_3 و تعدادی فاز اکسیدی از قبیل SiO_2 و MoO_2 سنتز شده‌اند. رفتار تربیولوژیکی پوشش حاصله نیز به روش رفت و برگشتی مورد ارزیابی قرار گرفت و نمودارهای کاهش وزن بر حسب مسافت و همچنین ضریب اصطکاک محاسبه گردید.

فهرست مطالب

عنوان	عنوان
فهرست مطالب	صفحه
فهرست شکل ها	هشت
فهرست جدول ها	۵
چکیده	یازده
فصل اول	۱
مقدمه	۲
فصل دوم	
مطالعات مروری	۴
۱- مقدمه	۴
۲- مواد متداول مصرفی در ساخت بخش های داغ توربین	۵
۳- توسعه مواد جایگزین	۵
۴- ترکیب بین MoSi ₂	۶
۵- نمودار فازی تعادلی Mo-Si	۵
۶- ساختمان بلوری MoSi ₂	۸
۷- خواص فیزیکی و مکانیکی MoSi ₂	۹
۸- خواص دمای بالای MoSi ₂	۱۰
۹- رفتار اکسیداسیون MoSi ₂	۱۲
۱۰- روش های تولید MoSi ₂	۱۶
۱۱- راه حل های مورد نیاز برای کاربرد ساختمانی MoSi ₂	۱۶
۱۲- فرایند آلیاژ سازی و فعال سازی مکانیکی	۱۸
۱۳- عوامل مؤثر بر آلیاژ سازی و فعال سازی مکانیکی	۱۹
۱۴- تغییرات ریز ساختار و مرفلوژی پودر در آلیاژ سازی مکانیکی	۲۳
۱۵- مکانیزم آلیاژ سازی مکانیکی و فعال سازی مکانیکی	۲۴
۱۶- فرایند پاشش حرارتی	۲۵
۱۷- انتخاب مواد پوشش	۲۸
فصل سوم	
مواد و روش ها	۳۰
۱- مواد	۳۰
۲- تجهیزات مورد استفاده	۳۲
دستگاه آسیاب	۳۲

۳۳.....	کوره عملیات حرارتی
۳۳.....	میکروسکوپ الکترونی روبشی (SEM)
۳۴.....	آنالیز فازی توسط پراش پرتو ایکس (XRD)
۳۴.....	طیف سنجی جذب اتمی (AAS)
۳۴.....	پرس هیدرولیک
۳۵.....	تجهیزات کلوخه سازی
۳۵.....	دستگاه سایش
۳۵.....	۳- نحوه انجام آزمایشات
۳۵.....	آسیاب کاری مکانیکی
۳۷.....	آنالیز فازی توسط پراش پرتو ایکس
۳۷.....	تعیین توزیع اندازه ذره و متوسط اندازه دانه در حین آسیابکاری
۳۸.....	عملیات حرارتی
۳۸.....	کلوخه سازی و دانه بندی
۳۹.....	تهیه کلوئید
۳۹.....	دانه بندی کلوخه ها
۴۰.....	پاشش حرارتی و بررسی های تربیولوژیکی
۴۰.....	پاشش حرارتی
۴۱.....	بررسی های تربیولوژیکی
	فصل چهارم
۴۲.....	نتایج و بحث
۴۲.....	۴- آسیابکاری
۴۲.....	آسیابکاری مولیبدن خالص
۴۲.....	آسیابکاری مخلوط مولیبدن و سیلیسیم
۴۹.....	عملیات حرارتی
۵۱.....	۴- کلوخه سازی و دانه بندی
۵۴.....	۴- پاشش حرارتی و ارزیابی رفتار سایشی
۵۴.....	بررسی خود پیش رونده بودن واکنش
۵۵.....	محاسبه تئوریکی دمای آدیباگاتیک واکنش تشکیل $MoSi_2$
۵۷.....	پاشش حرارتی
۵۵.....	مکانیزم تولید $MoSi_2$
۶۱.....	ارزیابی های سایشی

فصل پنجم

۶۹.....	نتیجه گیری و پیشنهادها
۶۹.....	نتایج
۷۰.....	پیشنهادات
۷۱.....	مراجع
۷۷.....	پیوست ۱

فهرست شکل ها

۷.....	شکل ۲-۱: نمودار فازی Mo و Si
۹.....	شکل ۲-۲: ساختمان بلوری $\alpha\text{-MoSi}_2$
۹.....	شکل ۲-۳: (الف) فشرده ترین صفحه بلوری MoSi ₂ ب (نحوه قرارگیری اتمها در این صفحه).
۱۰.....	شکل ۲-۴: هدایت حرارتی MoSi ₂ در مقایسه با دیگر مواد دما بالا
۱۱.....	شکل ۲-۵: انبساط حرارتی MoSi ₂ در مقایسه با دیگر مواد دما بالا
۱۲.....	شکل ۲-۶: تنفس تسیلیم وابسته به دمای مواد دما بالا
۱۳.....	شکل ۲-۷: مقاومت الکتریکی وابسته به دمای مواد حرارتی مقاومتی
۱۴.....	شکل ۲-۸: نمودار انرژی آزاد گیس برای دو واکنش اکسیداسیون دما بالای MoSi ₂
۱۴.....	شکل ۲-۹: تعادل فازهای کندانس در سیستم Mo-Si-O در دمای ۱۲۵۰ کلوین
۲۰.....	شکل ۲-۱۰: شماتیک انواع آسیاب گلوله ای
۲۴.....	شکل ۲-۱۱: تغییرات اندازه ذرات پودر در زمانهای مختلف آسیاب کاری
۲۶.....	شکل ۲-۱۲: شماتیک از اجزای مختلف دستگاه پاشش حرارتی
۲۸.....	شکل ۲-۱۳: شماتیک تفنگ پاشش پلاسمایی
۳۱.....	شکل ۳-۱: (الف) مرفلوژی پودر سیلیسیم خالص (ب) الگوی پراش سیلیسیم خالص
۳۲.....	شکل ۳-۲: (الف) مرفلوژی پودر مولیبدن خالص (ب) الگوی پراش مولیبدن خالص
۳۳.....	شکل ۳-۳: شماتیک از دستگاه آسیابکاری شافتی مورد استفاده
۳۴.....	شکل ۳-۴: غلاف فولاد زنگ نزن حاوی پودر مواد اولیه
۳۶.....	شکل ۳-۵: دستگاه مخلوط کن غلطشی
۳۸.....	شکل ۳-۶: مراحل محاسبه متوسط اندازه دانه ها
۴۰.....	شکل ۳-۷: شماتیک کلی فرایند تهیه پودر تغذیه
۴۱.....	شکل ۳-۸: (الف) کلوخه اولیه (ب) پودر تغذیه
۴۳.....	شکل ۴-۱: اثر آسیابکاری بر مولیبدن خالص در زمانهای ۰، ۵، ۲۰ و ۲۵ ساعت
۴۴.....	شکل ۴-۲: اثر آسیابکاری بر مخلوط مولیبدن و سیلیسیم خالص در پراش پرتو ایکس
۴۵.....	شکل ۴-۳: نمودار تغییرات متوسط اندازه ذرات در طول آسیابکاری
۴۶.....	شکل ۴-۲: مرفلوژی ذرات پس از ۲ تا ۳۰ ساعت آسیابکاری
۴۷.....	شکل ۴-۵: نمودار تنفس - کرنش مولیبدن
۴۸.....	شکل ۴-۶: آسیابکاری سیستم ترد - نرم (الف) مرحله اولیه
۴۹.....	شکل ۴-۷: الگوهای پراش پرتو ایکس نمونه های عملیات حرارتی شده در دمای های مختلف
۵۰.....	شکل ۴-۸: (الف) شدت پیک فاز MoSi ₂ و (ب) نسبت بلندترین پیک های
۵۲.....	شکل ۴-۹: الگوهای پراش نمونه های ۱۵ و ۳۰ ساعت آسیابکاری شده و عملیات حرارتی
۵۳.....	شکل ۴-۱۰: (الف) شماتیک از چسبیدن کربوکسی متیل سلولز پلی مری شده به ذره

شكل ۴-۱۱: مقایسه اثر فشردگی بر پیشرفت واکنش	۵۴
شكل ۴-۱۲: شمای مکانیزم تولید MoSi_2	۵۶
شكل ۴-۱۳: الگوی پراش نمونه پاشش شده بر زیر لایه مسی.	۵۷
شكل ۴-۱۴: مقطع پاشش در بزرگنمایی و دتکتورهای مختلف	۵۸
شكل ۴-۱۵: نتایج حاصل از آنالیز EDS مربوط به نقطه (الف) منطقه ۱ (ب) منطقه ۲ (ج) منطقه ۳	۶۰
شكل ۴-۱۶: الگوی پراش نمونه عملیات حرارتی شده پس از پاشش در 900°C	۶۲
شكل ۴-۱۷: مقطع پاشش پس از عملیات حرارتی با دو دتکتور (الف) SE و (ب) BSE	۶۲
شكل ۴-۱۸: نمودارهای کاهش وزن بر حسب مسافت	۶۳
شكل ۴-۱۹: نمودار تغییرات ضریب اصطکاک بر حسب مسافت	۶۴
شكل ۴-۲۰: محصولات سایش در بزرگنمایی های مختلف	۶۵
شكل ۴-۲۱: تصاویر میکروسکوپ الکترونی روبشی از سطوح سایش تحت بارهای مختلف	۶۶
شكل ۴-۲۲: سطوح پین تحت بارهای مختلف	۶۷

فهرست جدول‌ها

جدول ۲-۱: اطلاعات ساختاری مربوط به سیستم دوتایی Mo-Si	۷
جدول ۲-۲: خواص MoSi_2 در دمای اتاق	۱۰
جدول ۲-۳: مزایا و معایب روش‌های مختلف پاشش حرارتی.	۲۹
جدول ۴-۱: درصد ناخالصی‌های موجود در پودر 30 ساعت آسیابکاری شده.	۵۱
جدول ۴-۲: توانایی تولید کلوئید و کلوخه در مقادیر مختلف CMC	۵۳

چکیده

در این پژوهش پودرهای خالص مولیبدن و سیلیسیم در دستگاه آسیاب مکانیکی شافتی در زمان‌های گوناگون مورد فعال‌سازی قرار گرفت. در این رابطه با استفاده از الگوهای پراش پرتو ایکس (XRD) و عملیات حرارتی در دماهای گوناگون و محاسبه متوسط اندازه ذرات پودر، زمان بهینه آسیابکاری بدست آمد. این زمان برای سیستم فوق و شرایط ویژه آن برابر ۱۵ ساعت می‌باشد. پودر بدست آمده از مرحله آسیابکاری به دلیل داشتن ابعاد کوچک، قابل استفاده در پاشش حرارتی نمی‌باشد. به همین دلیل روش شیمیایی کلوخه سازی با استفاده از کربوکسی متیل سلولز (CMC) به کار گرفته شد. در این قسمت، غلظت‌های متفاوتی از (CMC) در آب بدون یون وارد و توانایی آن در تولید کلوخه‌های مناسب بررسی شد. کلوئید حاوی یک درصد وزنی کربوکسی متیل سلولز به عنوان حالت بهینه انتخاب گردید. پس از تولید کلوخه‌های مورد نظر، با استفاده از خرد کردن و دانه بندی آنها پودر مناسب برای پاشش بدست آمد. در مرحله بعد، پودرهای تولیدی به روش پاشش پلاسمایی اتمسفری (APS) بر روی زیر لایه مسی نشانده شد. نتایج حاکی از آن است که در حین پاشش، ترکیبات بین فلزی MoSi_2 و Mo_5Si_3 و تعدادی فاز اکسیدی از قبیل SiO_2 و MoO_2 سنتز شده‌اند. رفتار تربیولوژیکی پوشش حاصله نیز به روش رفت و برگشتی مورد ارزیابی قرار گرفت و نمودارهای کاهش وزن بر حسب مسافت و همچنین ضریب اصطکاک محاسبه گردید.

فصل اول

مقدمه

ترکیب بین فلزی دی سیلیسید مولیبدن دارای خواص ویژه‌ای نظیر مقاومت به اکسیداسیون در دمای بالا، هدایت الکتریکی و حرارتی خوب، چگالی نسبتاً پایین و نقطه ذوب بالا می‌باشد. خواص فیزیکی و مکانیکی این ماده با خواص فیزیکی و مکانیکی فلزات و سرامیک‌ها همپوشانی دارد. دلیل این امر مربوط به ماهیت پیوندهای آن است. رفتار اکسیداسیونی MoSi_2 در شرایط دما - فشار مختلف، متفاوت است. مقاومت به اکسیداسیون آن در محدوده $400 - 600^\circ\text{C}$ کم بوده و تحت سیکل‌های حرارتی و تنش‌های مکانیکی به یکباره تخریب می‌شود که به آن پدیده Pest گفته می‌شود. در دماهای بالاتر از 1000°C با تشکیل شدن یک لایه محافظ سیلیسی، مقاومت به اکسیداسیون بسیارخوبی را از خود نشان می‌دهد به طوری که این لایه در دماهای بین $1100 - 1600^\circ\text{C}$ حتی از لایه آلمینا که بر روی AlNi و کرومیا که بر روی $\text{Ni} - 30\% \text{Cr}$ ایجاد می‌شود، محافظت کننده تر است. از این ماده در المان کوره‌ها، لنس فلزات مذاب، مشعل‌های گازی تولید شیشه، پوشش محافظ در برابر اکسیداسیون در دمای بالا و... استفاده می‌شود. تحقیقات گسترده‌ای در خصوص MoSi_2 و سایر ترکیبات بین فلزی Mo و Si انجام گرفته و یا در حال انجام است. به طور نمونه لیو^۱ و سویی^۲ در زمینه آلیاژسازی مکانیکی سیلیسیم / فلز دیرگداز مطالعاتی انجام داده‌اند [۱]. همچنین تولید MoSi_2 نانوبلوری بوسیله آلیاژسازی مکانیکی [۲] و یا اثرات انرژی آسیاب بر تولید و مکانیزم تشکیل MoSi_2 [۳] و حتی فازهای تشکیل شده در حین آنیل پودرهای آسیاب شده Mo و Si^۴ مورد بررسی محققین قرار گرفته است. مثلاً شوارز^۳ و همکارانش تولید پودرهای آلیاژی MoSi_2 و Mo_5Si_3 و WS_2 را توسط آلیاژسازی مکانیکی بررسی کردند [۵]. از طرفی محققین دیگری آلیاژسازی مکانیکی و سنتز احتراقی MoSi_2 را با سایر عناصر و ترکیبات به منظور بهبود خواص مکانیکی و اکسیدی مورد بررسی قرار داده‌اند [۶ - ۱۳]. از دیگر مسائلی که توجه پژوهشگران را به سوی خود جلب کرده است، رفتار اکسیداسیونی این ترکیب در شرایط متفاوت است [۱۴ - ۱۶] زیرا مهمترین دلیل توسعه این ترکیبات،

1 - Lio

2 - Cui

3 - Schwarz

مقاومت اکسیداسیونی عالی آنها است. با توجه به امکان ساخت قطعات با استفاده از پاشش پودرها و تولید قطعات در نزدیکی شکل اصلی آنها و یا ساخت Functionary Gradient Materials و همچنین برخی از مشکلات پاشش ترکیبات بین فلزی از قبیل تجزیه برخی از آنها حین پاشش و چسبندگی نامطلوب آنها به زیر لایه، در صورتی که بتوان این ترکیبات را با خلوص مناسب حین پاشش سنتز نمود، امکان تولید محصولات یاد شده از این مواد فراهم می‌گردد.

در این تحقیق سعی گردید تا شرایط سنتز پودرهای مواد اولیه با استفاده از آلیازسازی مکانیکی و فعالسازی آنها مهیا شود و زمان بهینه آسیابکاری از طریق اندازه گیری توزیع اندازه ذرات و همچنین عملیات حرارتی در دماهای مختلف بدست آید و سپس از پودرهای بدست آمده، حین پاشش پلاسمایی ترکیبات بین فلزی مخصوصاً MoSi_2 بدست آید. در انتها نیز رفتار سایشی محصول و ضریب اصطکاک نمونه توسط آزمون سایش رفت و برگشتی مورد ارزیابی قرار گرفت.

۱- مقدمه

فصل دوم مطالعات مروری

گفته می شود توسعه توربین های گازی مرهون توسعه مواد دما بالا بوده است به گونه ای که ساخت موتورهای حرارتی با بازده بالا ارتباط مستقیمی با حد تحمل مواد به کار رفته در بخش‌های داغ این تجهیزات دارد [۱۷]. حداکثر دمای گاز خروجی از توربین های گازی توسط ماده بکار رفته در پره‌های کمپرسور تعیین می‌شود [۱۸]. دمای گاز خروجی در توربین های جدید به قدری زیاد است که نمی‌تواند مستقیماً از توربین بگذرد. این دما تقریباً برابر با $1800 - 2000^{\circ}\text{C}$ است بنابراین فنونی به کار می‌رود تا دمای گاز وارد شده به توربین ها به حد تحمل مواد مورد استفاده کاهش یابد [۱۹]. دمای احتراق بالاتر، بازده بیشتری دارد. به همین دلیل تحقیقات بسیار وسیعی روی مواد دما بالا در حال انجام است. اینچنین افزایش دمایی در گاز، ناشی از کاربرد مواد جدید و طراحی های جدید می‌باشد. در یک توربین جت دمای گاز می‌تواند $120^{\circ}\text{C} - 20$ بیشتر از دمای ذوب پره‌های توربین باشد در نتیجه طراحین فنون خاصی را برای خنک کردن پره‌ها و به منظور جلوگیری از تخریب آنها به کار می‌برند. می‌توان دمای آدیباتیک شعله را بوسیله انتخاب صحیح سوخت بسیار بالا برد. گازهای داغ از میان پره‌های توربین می‌گذرند و حداکثر دمای ممکن بوسیله توانایی پره‌های توربین در تحمل تنש‌های ناشی از چرخش آنها در دمای معین تعیین می‌شود.

۲- مواد متداول مصرفی در ساخت قسمت های داغ توربین

سوپرآلیاژ به گروهی از مواد اطلاق می‌شود که ترکیب پیچیده‌ای از عناصر را دارند و یکی از عناصر کبالت، تیتانیوم، نیویوم، و آهن به عنوان عنصر اصلی استفاده می‌شود. موادی که در گروه سوپرآلیاژها دسته بنده می‌شوند می‌توانند خواص مکانیکی، سطحی و ساختاری خود را در دماهای بالا و تحت شرایط تنش و در محیط‌های خورنده حفظ کنند [۲۰]. این مواد بطور عمده در بخش‌های بسیار گرم موتورهای جت استفاده می‌شوند. آلیاژهای بسیار مهم در این گروه، آلیاژهای پایه نیکل هستند که مکانیزم‌های استحکام دهی γ و γ' را بکار می‌گیرند. γ به زمینه fcc و γ' به رسوبات همگن Ni_3Al باز می‌گردد. همین مکانیزم باعث می‌شود که این آلیاژ قابلیت تحمل دمایی در حدود 850°C را داشته باشد. مکانیزم

استحکام دهی^۷ که باعث چنین قابلیتی می شود بر پایه تاثیرات پیچیده رسوبات منظم Ni_3Al و زمینه fcc نیکل است. رسوبات^۸ در محدوده دمایی $1100^{\circ}C$ در زمینه نیکلی حل می شوند و این موضوع مانع از گسترش کاربرد سوپرآلیاژهای نیکلی در دماهای بالاتر است. بنابراین افزایش بیشتر دمای گاز ورودی به موتور جت، تنها هنگامی قابل دستیابی است که از مواد جدیدتر استفاده شود. سرامیک‌های دارای پیوند کوالانسی و ترکیبات بین فلزی حاوی پیوندهای دوگانه بهترین انتخاب می‌باشد.

۲-۳- توسعه مواد جایگزین

در سال ۱۹۹۳ پتروویچ^۱ در گزارشی بیان داشت که مواد ساختمانی برای کاربرد تحت شرایط اکسیداسیونی در دماهای بین $1600^{\circ}C$ - 1200° به سرامیک‌های پایه سیلیکونی مثل Si_3Ni_4 و SiC و دسته‌ای جدید از سیلسیدهای ساختمانی دمای بالا محدود می‌شود. این مواد به دلیل مقاومت اکسیداسیون بالا و استحکامشان انتخاب شدند [۲۱]. ولی این دو مزیت تحت الشعاع چکش خواری کم این مواد در دمای پایین قرار می‌گرفت. چنین رفتاری در دماهای پایین، مربوط به نوع پیوندهای آنها می‌باشد که برای سرامیک‌های ساختمانی، کوالانسی یا یونی است. در مقایسه، پیوندها در سیلسیدهای فلزات دیرگداز مثل $MoSi_2$ دارای خواص کوالانسی و یونی است [۲۲ و ۲۳]. وجود خاصیت فلزی در این پیوندها فرصتی را برای آلیاژسازی این مواد برای کاهش تردی دما پایین آنها فراهم می‌آورد. آنتون^۲ و شا^۳ با توجه به تنش نهایی، استحکام خروش و مقاومت به اکسیداسیون، هفت ترکیب بین فلزی با دمای ذوب بالای $1600^{\circ}C$ را برای جایگزینی مواد دمای بالای قدیمی انتخاب کردند. این ترکیبات عبارتند از Cr_3Si , Nb_3Al , Co_2Nb , $MoSi_2$ و Al . با توجه به میزان استحکام نهایی و مقاومت اکسیداسیونی، $MoSi_2$ بهترین گزینه می‌باشد [۲۴].

۴- توکیب بین فلزی $MoSi_2$

سامسونوف^۴ در مقاله‌ای تاریخ توسعه ترکیب بین فلزی $MoSi_2$ را بررسی کرده است [۲۵]. او بیان می‌کند اولین بار در سال ۱۸۹۵ موییسان^۵ در مقاله‌ای که راجع به ذوب مولیبدن و سیلیسیم با استفاده از قوس الکتریکی بوده است، تشکیل سیلیسید مولیبدن را گزارش کرده است. او گزارش داده بود که از این آزمایش ماده‌ای به دست می‌آید که دمای ذوب بسیار بالایی دارد. این آزمایشات دوباره در سال ۱۸۹۹ توسط ویگوروکس^۶ انجام شد و او فرمول $MoSi_3$ را برای این ترکیب پیشنهاد نمود [۲۶]. برای اولین بار در سال

1- Petrovic

2 -Anton

3 -Shah

4 - Samsonov

5 - Moissan

6 - Vigouroux

۱۹۰۶ واتس^۱ (آمریکا) تولید و تهیه MoSi₂ را شرح داده است. سپس این ماده توسط هونیگ^۲ اشمید^۳ (آلمان) در سال ۱۹۰۸ دوباره سنتز شد. با استفاده از اشعه ایکس زاچاریاسیون^۴ در سال ۱۹۲۷ ساختمان بلوری MoSi₂ را تعیین کرد. او پیشنهاد کرد MoSi₂ دارای ساختار تراگونال با پارامتر شبکه a = ۰/۳۲۰۰ ± ۰/۰۰۰۵nm و c = ۰/۷۸۶۱ ± ۰/۰۰۰۵nm می‌باشد. در سال ۱۹۹۸ صحیح‌ترین اصلاحی که بر پارامترهای شبکه MoSi₂ انجام شده است، توسط هارادا^۵ و همکاران و با مقادیر a = ۰/۷۸۴۷۸nm و c = ۰/۳۲۰۶۴ می‌باشد.^۶

تا قبل از سال ۱۹۴۷ که عنوان یک ماده برای المنشت‌های حرارتی پیشنهاد شد، به این ماده تنها به عنوان یک موضوع علمی توجه می‌شد. در سال ۱۹۶۳ اولین کاربرد اقتصادی MoSi₂ به عنوان المنشت حرارتی در سوئیچینگ به ثبت رسید. بریور^۷ و همکاران در سال ۱۹۵۰ مولیبدن و سیلیسیم بسیار خالص را به صورت القایی تحت اتمسفر آرگون ذوب نمودند و Mo₃Si و MoSi_{0.65} و Mo₅Si₃ (Mo₅Si₃) را تهیه کردند. کرونکا و همکاران در سال ۱۹۵۰ گزارش دادند که ترکیبات Mo₃Si₂ و Mo₃Si (که بعداً آرونسون^۸ نشان داد که Mo₅Si₃ می‌باشد) و MoSi₂ از سینترینگ مخلوط مولیبدن و سیلیسیم در دماهای بین ۱۶۰۰ - ۱۱۰۰ °C بدست می‌آید. از آن پس MoSi₂ به شیوه‌های متفاوتی تولید شده است که مثلاً واکنش گازی SiCl₄ با سیم مولیبدنی در اتمسفر هیدروژن در دماهای زیاد یکی از آنها بوده است.^[۲۶]

۵ - نمودار فازی تعادلی Mo-Si

همانطور که در شکل ۱-۲ دیده می‌شود مولیبدن سه ترکیب استوکیومتری سیلیسیدی Mo₃Si، MoSi₂ و MoSi₃ را تشکیل می‌دهد. فاز Mo₃Si بصورت پریتکتیکی در دماهای ۲۰۲۵ °C ذوب می‌شود. دماهای ذوب Mo₅Si₃، MoSi₂ و Mo₃Si در مقایسه با دو سیلیسید دیگر این فاز در دماهای اتاق تا ۳۵ درصد سیلیسیم پایدار است. MoSi₂ در دماهای اتاق دارای ساختمان تراگونال است و در دماهای ۱۹۰۰ °C به فاز هگزاگونال تبدیل می‌شود و فاز هگزاگونال در دماهای ۲۰۲۰ °C ذوب می‌شود.^[۲۸] هر چند MoSi₂ دارای دماهای ذوب کمتری نسبت به Mo₅Si₃ است و دارای تغییرات فازی هم می‌باشد ولی در مقایسه با دیگر سیلیسیدها کاربردهای بسیار زیادی دارد زیرا می‌تواند یک لایه محافظ SiO₂ را در محیط‌های اکسیدی تشکیل دهد. تشکیل این پوشش با استفاده بیش از ۳۶/۸۶ درصد سیلیسیم که برای تشکیل فاز سیلیسیدی استوکیومتری لازم است تشدید می‌شود.

1 - Watts

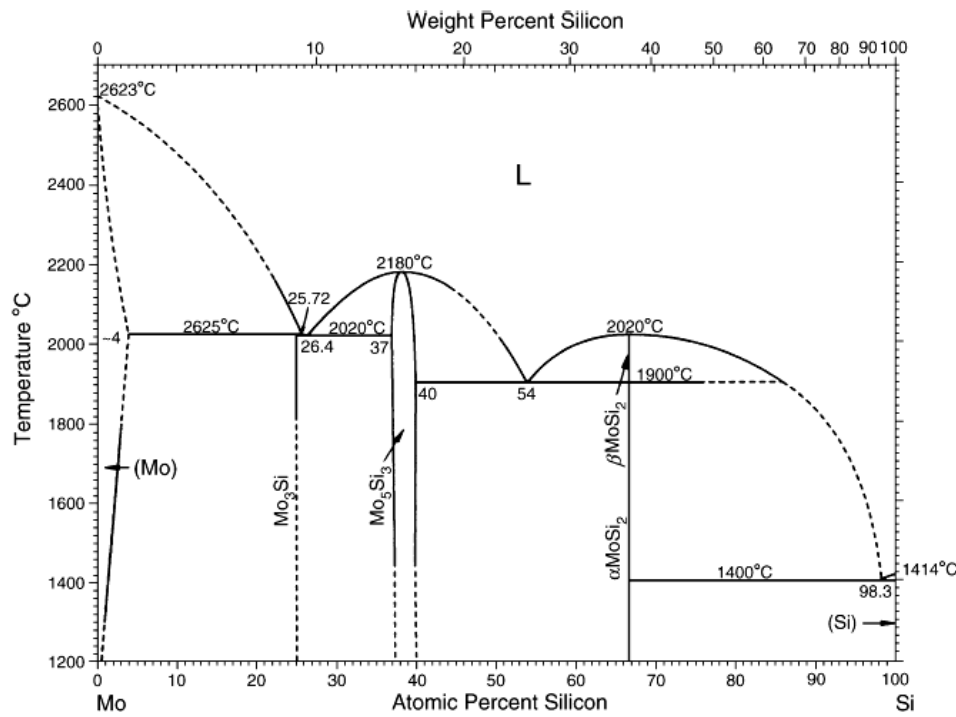
2 - Hoenigschmid

3 - Zachariasen

4 - Harada

5 - Brewer

6 - Aronson



شکل ۲-۱: نمودار فازی Mo و Si [۵۵]

همانطور که نمودار فاز نشان می‌دهد، مقادیر اضافی فاز سیلیسیم در دماهای بالاتر از 1400°C ذوب می‌شود و تشکیل پوشش محافظه مذاب می‌دهد. MoSi_2 را می‌توان در شرایط اکسیداسیونی حتی تا نزدیک 2020°C ذوب آن یعنی 2020°C هم بکار برد. در عمل حداکثر دمای مورد استفاده به دمای بالای SiO_2 یعنی 1700°C محدود می‌شود [۲۹ و ۳۰]. اطلاعات ساختاری مربوط به سیستم دوتایی Mo-Si در جدول ۱-۲ موجود می‌باشد.

جدول ۱-۲: اطلاعات ساختاری مربوط به سیستم دوتایی Mo-Si [۳۱].

پارامتر شبکه	سیستم بلوری	دماهی ذوب ($^{\circ}\text{C}$)	ترکیب
$a = 0.4890$	مکعبی	۲۰۲۵	Mo_3Si
$a = 0.9648$ $c = 0.4910$	تراگونال	۲۱۰۰	Mo_5Si_3
$a = 0.3206$ $c = 0.7847$	تراگونال	۱۹۰۰	$\alpha - \text{MoSi}_2$
$a = 0.4642$ $c = 0.9529$	هگزاگونال	۲۰۲۰	$\beta - \text{MoSi}_2$

۶- ساختمان بلوری MoSi₂

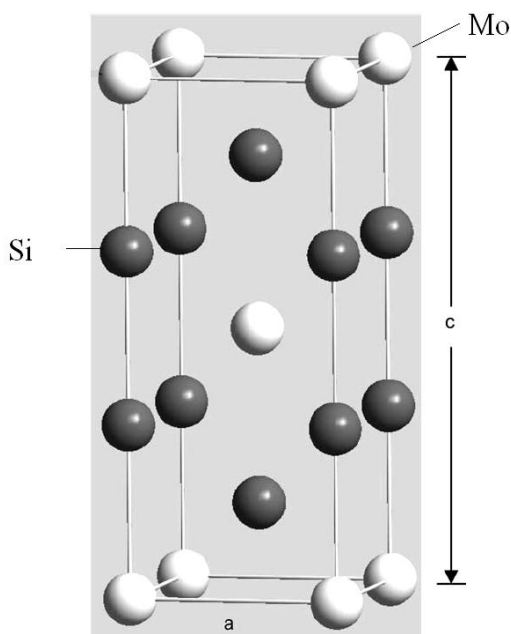
که دارای ساختمان بلوری تراگونال مرکزدار است، با استفاده از علائم پیرسون به صورت tI6 نشان داده می‌شود. همانطور که در شکل ۲-۲ دیده می‌شود اتم‌های Mo در گوش‌ها و در موقعیت‌های

$\frac{1}{2}, \frac{1}{2}, \frac{1}{2}$ شبکه قرار دارند. اتم‌های Si در موقعیت‌های $0, 0, \frac{1}{3}$, $\frac{1}{2}, \frac{1}{2}, \frac{5}{6}$ و $\frac{2}{3}, \frac{1}{2}, \frac{1}{6}$ قرار

گرفته‌اند. اتم‌های Si دارای شعاع اتمی 1.1758\AA هستند که بسیار بزرگتر از اتم‌های حل‌شونده جانشینی مانند (0.91\AA) H، (0.91\AA) C، (0.77\AA) B و (0.46\AA) N می‌باشد در نتیجه همانطور که گولداشميد^۱ هم

ذکر نموده است، MoSi₂ را نمی‌توان با اطمینان جزء ترکیبات بین فلزی بین نشینی به حساب آورد

.[۳۳و۳۲]



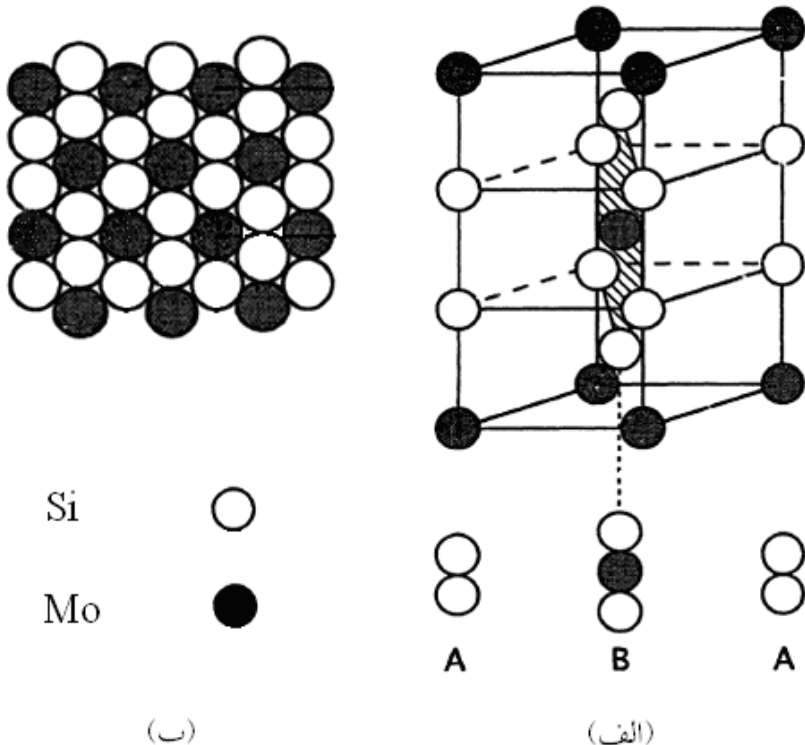
شکل ۲-۲: ساختمان بلوری $\alpha\text{-MoSi}_2$.[۳۴]

طبق قانون هاگ^۲ ترکیبات بین نشینی با نسبت شعاع‌های $r_x / r_m < 0.59$ که شعاع جزء غیر فلزی و r_{m_x} شعاع اتم‌های فلزی است، مشخص می‌شوند. این در حالی است که r_x / r_m در MoSi_2 برابر 0.863 می‌باشد. این ترکیب دارای جایگاه دوگانه‌ای بین محلول‌های جامد بین نشینی و جانشینی می‌باشد. همانطور که در شکل ۲-۳ نشان داده شده است، فشرده‌ترین صفحه کریستالی MoSi_2 همان صفحه‌های (110) است که هم اتم‌های Si و هم اتم‌های Mo را در یک آرایه به هم فشرده هگراگونالی در بر دارد. در این صفحه هر اتم ۶ اتم Si احاطه شده است و هر اتم Si سه اتم Mo و سه اتم Si دیگر در همسایگی خود دارد. صفحات به هم فشرده هگراگونالی به صورت ...ABAB... ساخته شده‌اند و هر اتم در این صفحات تنها دو

1 -Goldschmidt

2 -Hägg

همسايه نزديك در صفحات مجاور دارد. پيوندها در MoSi_2 اساساً فلزی است ولی به دليل غلظت بالاي اتم های Si گرایش به سمت پيوندهای کووالانسی بین اتم های Si مجاور هم وجود دارد. ماهیت فلزی MoSi_2 بوسيله اندازه گيری های دقیق رسانايي الکترونیکی تاييد شده است و تردی و سختی بالاي آن به ماهیت سرامیکی آن که ناشی از پيوند های کووالانسی بین اتم های Si است، نسبت داده می شود [۳۳].



شکل ۲ - ۳: (الف) فشرده ترین صفحه بلوری MoSi_2 ب) نحوه قرار گیری اتمها در اين صفحه [۳۳].

۲- خواص فیزیکی و مکانیکی MoSi_2

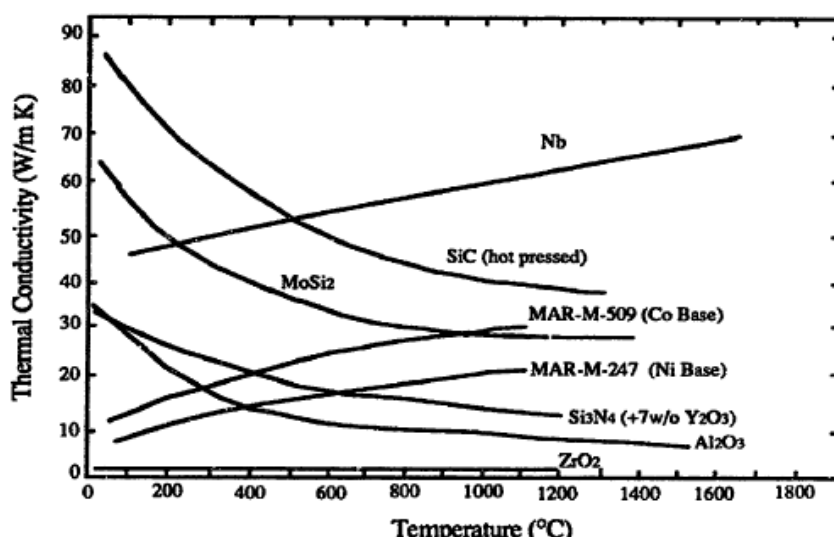
همپوشانی خواص فیزیکی و مکانیکی MoSi_2 با خواص فیزیکی و مکانیکی سرامیکها و فلزات در جدول ۲-۲ ملاحظه می شود. مقاومت اکسیداسیون عالی در نزدیکی 1700°C دارد زیرا می تواند يك لایه محافظ SiO_2 را در دماهای بالا تشیکل دهد [۳۵]. هدایت حرارتی آن در دمای اتاق برابر $66\text{W}/\text{mk}$ است که کمی از هدایت حرارتی SiC کمتر است. همچنین ضریب انبساط حرارتی آن برابر $7/9 \times 10^{-9}^{\circ}\text{C}^{-1}$ است که از SiC بیشتر است ولی به طور قابل ملاحظه ای از انبساط حرارتی آلومینایدها کمتر می باشد. برخی دیگر از خواص آن که مربوط به ماهیت سرامیکی آن است عبارتند از: دمای ذوب بالا، چگالی کم تا متوسط، سختی نسبتاً بالا و تافنس کم. MoSi_2 دارای دمای تبدیل تردی به نرمی در محدوده 1000°C می باشد و بر خلاف اغلب سرامیک ها، دارای مقاومت الکترونیکی نسبتاً پایین و برابر $21/6 \times 10^{-9} \Omega/\text{cm}$ می باشد [۳۶].

جدول ۲-۲: خواص MoSi_2 در دمای اتاق [۳۳].

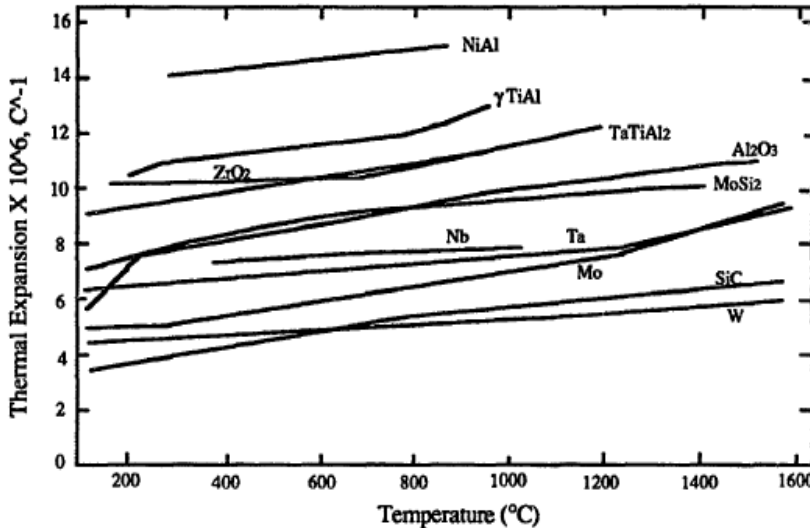
بزدگی	خاصیت
$6/2 \text{ g/cm}^3$	چگالی
2020°C	دمای ذوب
1000°C	دمای تبدیل تردی به نرمی
$7/9 \times 10^{-6}^\circ\text{C}^{-1}$	ضریب انبساط
$21/6 \times 10^{-9} \text{ Ohm cm}$	مقاومت الکتریکی
10 GPa	سختی ویکرزا
$2/58 \text{ MPa m}^{1/2}$	چقرمگی شکست
$225/4 \text{ MPa}$	استحکام خمشی

۸-۲- خواص دمای بالای MoSi_2

وابستگی دمایی هدایت حرارتی MoSi_2 در مقایسه با دیگر مواد دما بالا در شکل ۲-۴ آمده است. این نتایج نشان می‌دهد که در مقایسه با دیگر سرامیک‌ها، هدایت حرارتی MoSi_2 از SiC کمتر ولی از Si_3N_4 ، ZrO_2 و Al_2O_3 بیشتر است. همچنین از شکل نتیجه می‌شود که هدایت حرارتی این مواد سرامیکی با افزایش دما کاهش می‌یابد در حالی که مواد فلزی مثل Nb و سوپرآلیاژهای MAR-M-509 و MAR-M-247 ضریب هدایت حرارتی مثبتی دارند.

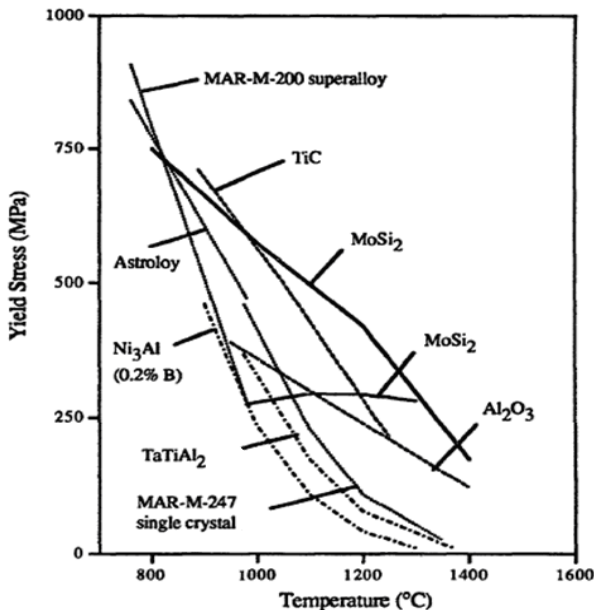
شکل ۲-۴: هدایت حرارتی MoSi_2 در مقایسه با دیگر مواد دما بالا [۳۶].

در شکل ۲-۵ اطلاعات مربوط به انبساط حرارتی مواد ساختمانی دما بالا نشان داده شده است. انبساط حرارتی MoSi_2 به آرامی با افزایش دما افزایش یافته و در دمای 600°C با Al_2O_3 برابر می‌شود. انبساط حرارتی MoSi_2 از SiC و فلزات دیرگذار مثل Ta , Nb , Mo , Nb و W بیشتر است و از سرامیک ZrO_2 و از TaTiAl , TiAl , NiAl کمتر می‌باشد.



شکل ۲-۵: انبساط حرارتی MoSi_2 در مقایسه با دیگر مواد دما بالا [۳۶].

هدایت حرارتی بالا به همراه انبساط حرارتی کم یک مزیت بسیار زیاد برای مواد ساختمانی دما بالا به منظور افزایش بازده خنک شدن، کاهش تنش‌های حرارتی و بهبود مقاومت به شوک حرارتی می‌باشد. یکسان بودن ضریب انبساط حرارتی زمینه و فاز استحکام بخش در کامپوزیت‌های زمینه سرامیکی بسیار مهم است زیرا استعداد ترک خوردن‌های سطحی را کاهش می‌دهد و چکش خواری را افزایش می‌دهد [۳۷]. قابلیت‌های عالی MoSi_2 به عنوان یک ماده دما بالا از داده‌های شکل ۲-۶ که تغییرات خواص مکانیکی را با دما نشان می‌دهد، آشکار می‌شود. در این شکل تنش تسليم بر حسب دما برای چند نوع سرامیک، سوپرآلیاژ و آلومیناید در محدوده دمایی $800^\circ\text{C} - 1400^\circ\text{C}$ مشاهده می‌شود. تنش تسليم خمیدگی MoSi_2 از سرامیک‌های TiC و Al_2O_3 در دماهای بالای 1000°C بیشتر است. تنش تسليم کششی MoSi_2 به شدت از تنش تسليم خمیدگی آن در 1000°C کمتر است. به هر حال دمای تبدیل تردی به نرمی در این دما اتفاق می‌افتد و باعث می‌شود تنش تسليم کششی تا محدوده دمایی $1300^\circ\text{C} - 1000^\circ\text{C}$ افزایش یابد. بنابراین در 1300°C هر دو تنش تسليم کشش و خمیش یکسان می‌شود. اطلاعات این شکل نشان می‌دهد که تنش تسليم کشش MoSi_2 با سوپرآلیاژ MAR-M-200 و ترکیب بین فلزی $(\text{Ni}_3\text{Al})_2\text{B}/2\%$ در 1000°C یکسان است و از TaTiAl_2 و تک بلور MAR-M-247 در بالاتر از 1050°C بیشتر می‌شوند.



شکل ۲-۶: تنش تسلیم وابسته به دمای مواد دما بالا [۳۶].

مقاومت الکتریکی بر حسب دما برای چند ماده در شکل ۲-۷ آمده است. مقاومت MoSi_2 در دمای 1500°C تقریباً $4 \times 10^{-9} \Omega/\text{cm}$ برابر کمتر از SiC و LaCrO_3 است و ۵ برابر کمتر از ZrO_2 می‌باشد. در مقایسه با مواد حرارتی فلزی مثل Pt و W مقاومت MoSi_2 دو برابر بیشتر است. همچنین MoSi_2 مانند هادی‌های فلزی W و Pt ضریب مقاومت گرمایی مثبتی را دارا است. به علاوه مقاومت الکتریکی کم آن در دماهای اتفاق که برابر $21/6 \times 10^{-9} \Omega/\text{cm}$ می‌باشد به MoSi_2 اجازه می‌دهد که جریان‌های زیادی را نسبت به دیگر سرامیک‌ها تحمل کند. همچنین دمای ذوب بالا، آن را قادر می‌کند که دماهای کاری بالاتری را نسبت به Pt و آلیاژ $\text{Pt} - \text{Rh}$ تحمل کند و مقاومت به اکسیداسیون آن مزیتی نسبت به W می‌باشد، زیرا W را تنها در المان‌های حرارتی تحت خلاء می‌توان استفاده کرد. خواص کلیدی MoSi_2 که آن را برای کابردات دما بالا جذاب ساخته است مقاومت اکسیداسیونی، پایداری ترمودینامیکی آن با بسیاری از مواد استحکام بخش دیگر و چگالی پایین آن است. به علاوه این ماده در پوشش‌های محافظتی و به عنوان اتصالات در فناوری‌های بسیار بزرگ (VLSI) بکار می‌رود.

۲-۹- رفتار اکسیداسیون MoSi_2

MoSi_2 به دلیل مقاومت اکسیداسیونی بالای آن از زمانی که هونیگ اشمید در سال ۱۹۰۷ آن را به عنوان پوشش محافظت برای فلزات بکار برد شناخته می‌شود. در دمای بالای 1000°C ، MoSi_2 برای تشکیل یک لایه محافظت سیلیسی با سرعت کم اکسید می‌شود. بین 1100°C - 1600°C سیلیکا حتی از آلمینا که روی NiAl تشکیل می‌شود و یا کرومیا که بر $30\% \text{Cr} - \text{Ni}$ تشکیل می‌شود محافظت کننده تر است.